

# Ni<sub>7</sub>Hf<sub>2</sub>/Ni<sub>3</sub>Al共晶的微观组织特征<sup>①</sup>

马书伟 郑运荣 于熙泓 阮中慈

(北京航空材料研究所第四研究室, 北京 100095)

**摘要** 针对 Ni-Al-Hf 三元系, 寻找出形成 Ni<sub>7</sub>Hf<sub>2</sub>/Ni<sub>3</sub>Al 共晶成分的合金, 结合光学金相、透射电镜、X 射线衍射、电子探针等技术, 研究了这种合金的相结构、形态和组成, 分析了  $\gamma'$ /Ni<sub>7</sub>Hf<sub>2</sub> 共晶的界面热稳定性, 并提出了降低 Al 含量, 从而消除枝晶间有害相  $\beta$ -NiAl/Ni<sub>7</sub>Hf<sub>2</sub> 共晶的方法。

**关键词** 自生复合材料 Ni<sub>7</sub>Hf<sub>2</sub> 相 共晶合金

在航空工业方面, 随着飞行速度和效率的提高, 对涡轮发动机叶片的高温性能要求越来越高, 曾广泛使用的镍基高温合金已经不能满足这种高温性能的要求了。

为了寻找使用温度比高温合金更高的合金作为涡轮发动机叶片材料, 在自生复合材料方面进行了广泛的研究<sup>[1]</sup>。这些材料大多以 Ni、Co、Fe 或者他们的金属间化合物为基, 以碳化物、难熔金属纤维或金属间化合物为增强体, 如  $\gamma/\gamma'$ -TaC 棒状共晶,  $\gamma/\gamma'$ -Ni<sub>3</sub>Nb 片状共晶材料<sup>[2, 3]</sup>, 这些材料比目前综合性能好的 Rene' 150 铸造高温合金的使用温度高 107 °C<sup>[4]</sup>。但这些材料有以下二个缺点妨碍了它们的使用, 一是 TaC 和 Ni<sub>3</sub>Nb 性脆, 室温横向塑性差; 二是在高于 1 000 °C 时, TaC 纤维发生明显退化使长时蠕变性能降低<sup>[3]</sup>。

Thompson 和 Lemkey 曾研究了 Ni-Al-Zr 三元系<sup>[5]</sup>, 发现了 Ni<sub>3</sub>Al 和 Ni<sub>7</sub>Zr<sub>2</sub> 共晶组织, 在平行于凝固方向  $\gamma'$ 、Ni<sub>7</sub>Zr<sub>2</sub> 交替定向排列, 形成了定向凝固共晶复合材料, 但性能不是很理想。

在高温合金中 Ni<sub>3</sub>Al(  $\gamma'$  ) 是主要的强化相, 高温稳定性好, 有较好的塑性; 而同时 Ni<sub>7</sub>Hf<sub>2</sub> 相是塑性最好的金属间化合物之一, 它的显微硬度与  $\gamma$  和  $\gamma'$  相当, 如果能够以 Hf 代

Zr, 形成 Ni<sub>3</sub>Al 和 Ni<sub>7</sub>Hf<sub>2</sub> 共晶, 然后利用定向凝固技术拉制成共晶复合材料, 有希望研制出高温强度高、塑性好的材料。

本文的目的就是以 Hf 代 Zr, 针对 Ni-Al-Hf 三元系, 寻找出形成 Ni<sub>7</sub>Hf<sub>2</sub>/Ni<sub>3</sub>Al 共晶成分的合金; 结合透射电镜、X 射线衍射、电子探针和光学金相技术、研究这种合金的相结构、组成以及界面热稳定性, 为研究 Ni<sub>7</sub>Hf<sub>2</sub> 增强的自生复合材料进行有益的探索。

## 1 实验方法

合金的成分(Ni<sub>6</sub>Al<sub>32</sub>-Hf)是参照 Ni-Al-Hf 在 1 473 K 等温截面相图(如图 1)以及 Thompson 和 Lemkey 对 Ni-Al-Zr 的研究, 以 Hf 代 Zr, 按 Hf、Zr 质量比确定下来的。利用真空电弧熔炼技术制备了 150 g 的铸锭, 为了使成分均匀, 反复熔炼了四次, 并随炉冷却。

透射电镜用的试样是从这种铸锭中切割下来的厚 0.25 mm 的薄片, 经机械减薄至 40 μm, 再利用双喷减薄(6% 高氯酸 + 59% 丁醇 + 35% 甲醇(体积分数), 80 V, 50 mA, -25 °C)制成的。组织形态观察和选区电子衍射是在 H800 透射电子显微镜下进行的, 工作电压为 175 kV。

① 国家自然科学基金资助项目(编号 59471009)

收稿日期: 1996-06-17; 修回日期: 1996-07-27

马书伟, 男, 26岁, 硕士研究生

利用 X 射线衍射技术分析了合金平板试样, 扫描范围为 10~100°, 条件是 CuK<sub>α</sub> 辐射, 50 kV, 40 mA, 狹缝 1°, 并加入了单色器。

由于共晶组织很细密, 无法利用电子探针进行成分分析, 因此对合金进行了 1130 °C, 72 h 长时均匀化处理, 这样也可以对共晶的界面热稳定性进行定性的评估。

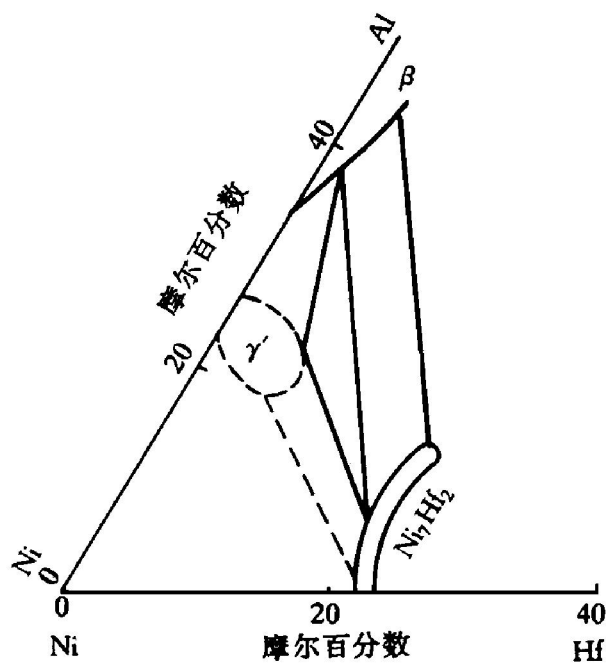


图 1 Ni-Al-Hf 系在 1473 K 的部分等温截面<sup>[7]</sup>

## 2 结果与讨论

### 2.1 X 射线衍射分析

图 2 是合金的 X 射线衍射谱, 证明合金中有三个相, 即 Ni<sub>7</sub>Hf<sub>2</sub> 相、γ' 相以及少量的 β

NiAl 相。

### 2.2 组织和相结构研究

图 3 示出了合金的典型显微组织: 有二种类型的共晶, 即 A (B) 区和 C 区。图 4、5 是二种共晶区的透射电镜明场像以及 γ'、β-NiAl 的选区电子衍射照片, 可以看出 A、B 部分是由 γ' 和 Ni<sub>7</sub>Hf<sub>2</sub> 相组成的, 在平行于 γ' 生长方向, 条状的 Ni<sub>7</sub>Hf<sub>2</sub> 相包围着长板状的 γ' 相, 共晶呈片层状; 而在垂直截面呈胞状, 其纤维间距大约为 2~10 μm。C 区共晶的纤维间距非常小, 大约为 0.5 μm, 由 β-NiAl 和 Ni<sub>7</sub>Hf<sub>2</sub> 相组成, 其共晶区中 β-NiAl 相由于对硝酸酒精敏感, 在光学金相中呈黑色。对比退火前后的共晶形态可见: β-NiAl/Ni<sub>7</sub>Hf<sub>2</sub> 在 1130 °C, 72 h 长时处理后, 其纤维明显粗化, 显示出它具有较低的界面热稳定性; 而 γ'/Ni<sub>7</sub>Hf<sub>2</sub> 在退火前后基本没有变化, 可定性地看出 γ'/Ni<sub>7</sub>Hf<sub>2</sub> 有较好的界面热稳定性。

NiAl 是有序的体心立方晶体, 其中 Ni 占据顶角位置, 而 Al 占据体心位置。NiAl 室温脆性大, 高温强度低, 并且界面热稳定性不好, 在合金中是有害相, 应该避免 β-NiAl 的产生, 以得到完全的 γ'/Ni<sub>7</sub>Hf<sub>2</sub> 共晶。

结合 Ni-Al-Hf 等温截面图(图 1), 分析 β-NiAl/Ni<sub>7</sub>Hf<sub>2</sub> 共晶相的形成不难发现, 在凝固前期, 成分点在 γ'、Ni<sub>7</sub>Hf<sub>2</sub> 二相区, 先析出 γ'/Ni<sub>7</sub>Hf<sub>2</sub> 相(如图 3(a) 的 A、B 区), 由于 Al 的强偏析, 在枝晶间的液相中( C 区), Al 含

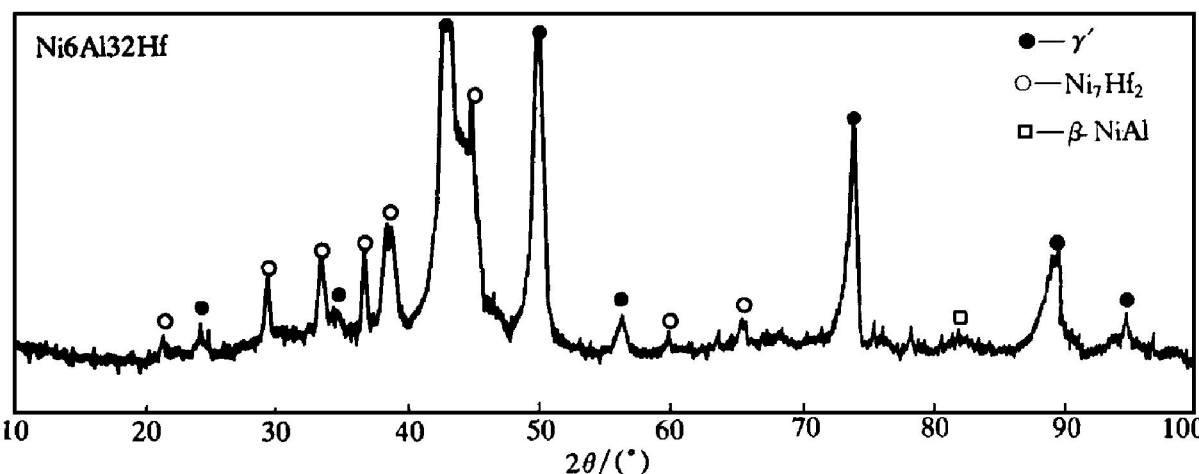


图 2 X 射线衍射谱

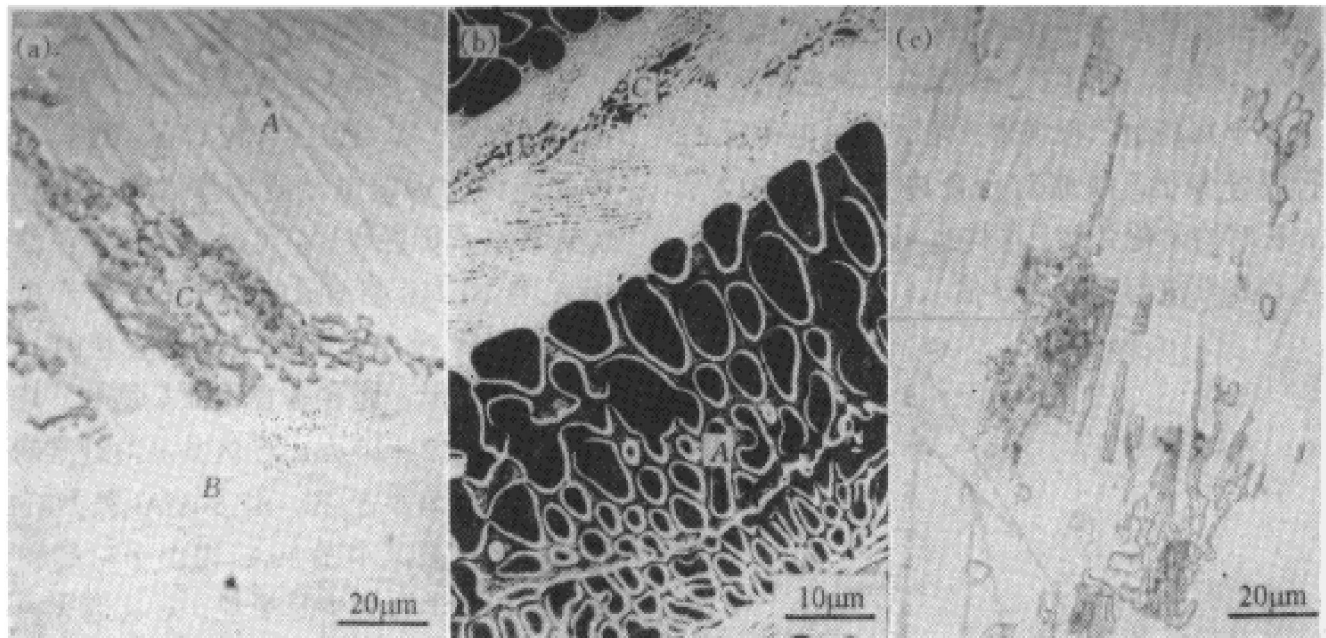
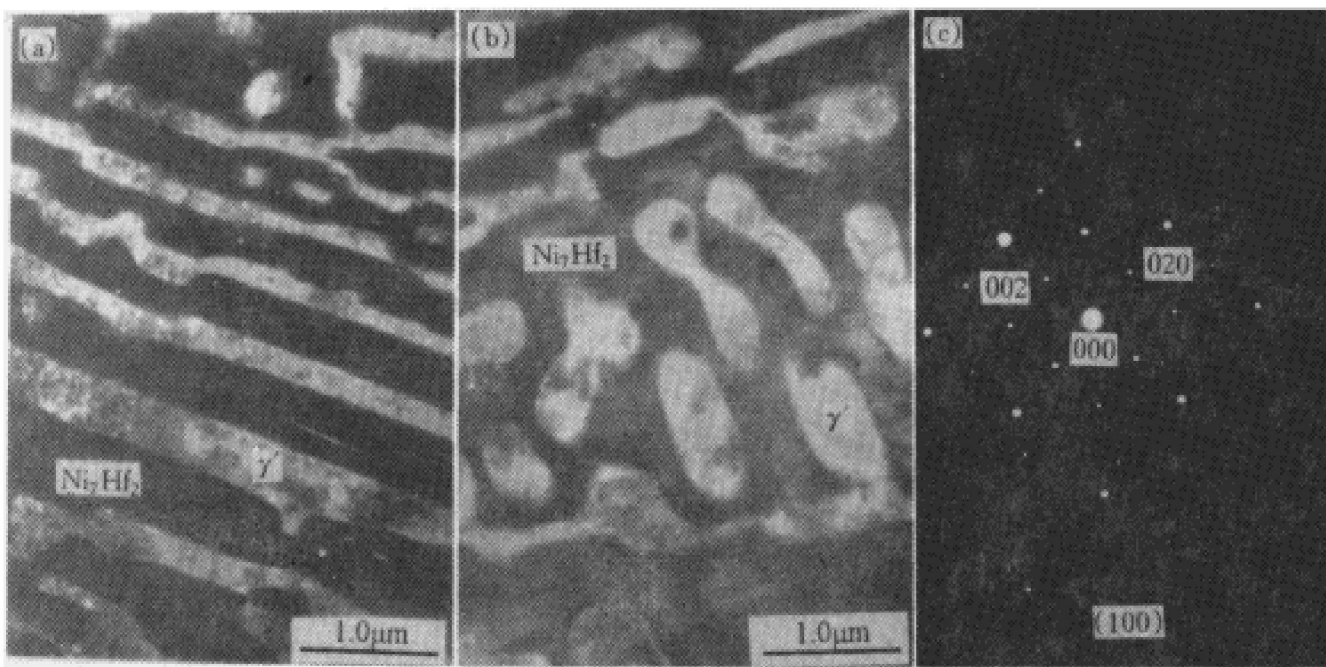


图3 Ni6-A132-Hf合金的金相组织

(a) 一退火前组织(10%硝酸酒精腐蚀); (b) 一枝晶间共晶组织(C区SEM照片);  
(c) -1130℃, 72h退火后组织

图4  $\gamma'$ /Ni<sub>7</sub>Hf<sub>2</sub>共晶明场像和选区电子衍射

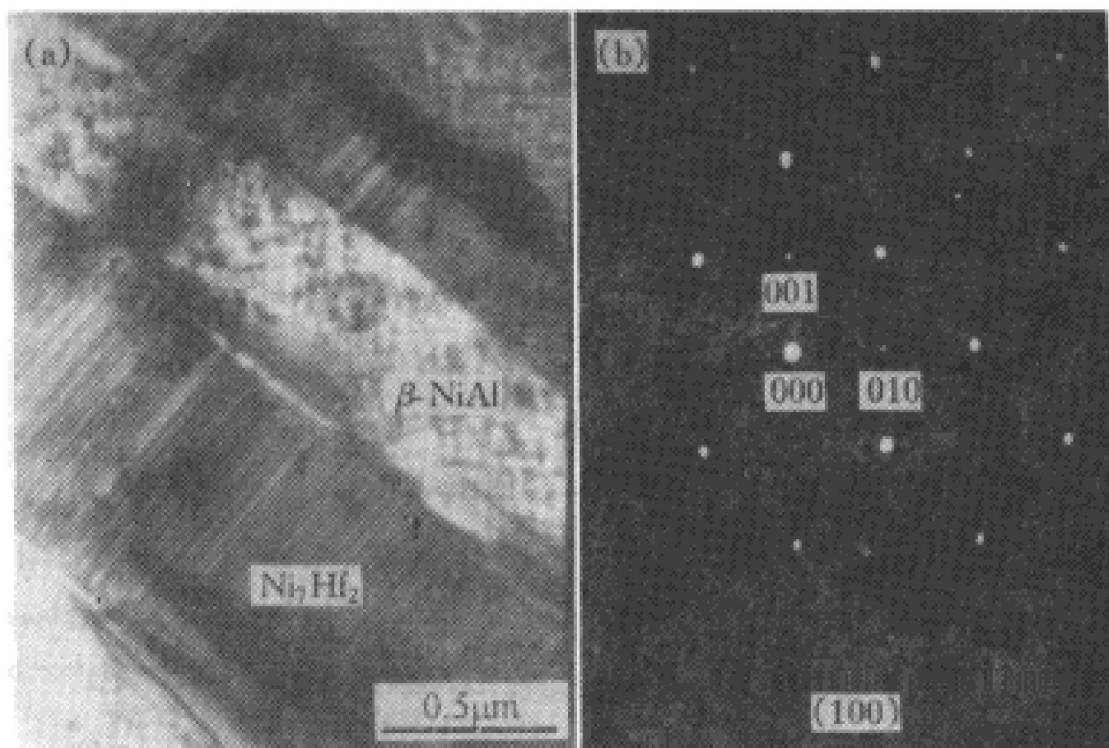
(a) 一纵向, 共晶呈片层状; (b) 一横向, 共晶呈胞状; (c) -  $\gamma'$  衍射

量偏高, 进入了  $\beta$ -NiAl、Ni<sub>7</sub>Hf<sub>2</sub> 双相区, 从而在随后的凝固中析出  $\beta$ -NiAl / Ni<sub>7</sub>Hf<sub>2</sub> 共晶, 因此为了减少  $\beta$ -NiAl 相的析出, 应减少合金的 Al 含量, 从而降低枝晶间液相的 Al 浓度。

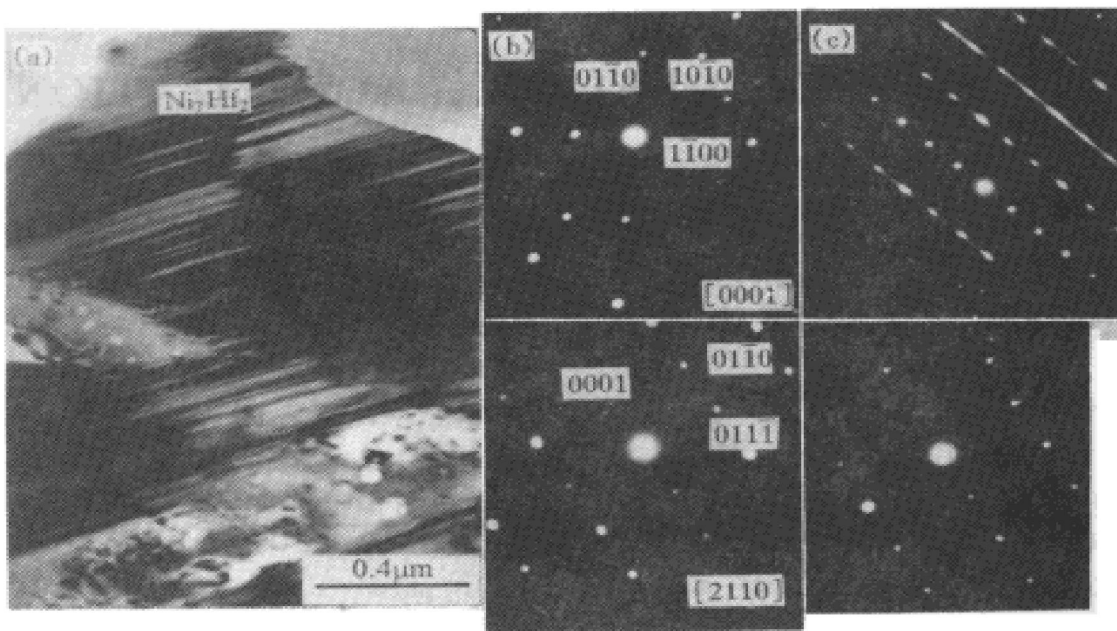
### 2.3 关于 Ni<sub>7</sub>Hf<sub>2</sub> 相

利用电子探针测出的 Ni<sub>7</sub>Hf<sub>2</sub> 相的成分

(%)是 55.2Ni·3.5Al·42.3Hf, Al 原子进入并占据了部分的 Hf 位置。图 2 X 射线衍射谱中, Ni<sub>7</sub>Hf<sub>2</sub> 的衍射峰均与 ASTM 卡片 26-1129Ni<sub>7</sub>Hf<sub>2</sub> 相吻合; 图 6(a) 是 Ni<sub>7</sub>Hf<sub>2</sub> 的明场像, 示出了(0001)基平面上的层状结构, 其层间距大致在 5 nm, Baldan 认为这种层状线是

图5 β-NiAl/Ni<sub>7</sub>Hf<sub>2</sub>共晶明场像和选区电子衍射

(a) —明场像; (b) —β-NiAl;

图6 Ni<sub>7</sub>Hf<sub>2</sub>相明场像及几个晶带轴的电子衍射(a) —Ni<sub>7</sub>Hf<sub>2</sub>内部明场像; (b) —[0001]及[2110]衍射; (c) —与文献不相符的几个衍射谱Ni<sub>7</sub>Hf<sub>2</sub>的堆垛层错<sup>[6]</sup>。

ASTM 卡片上, Ni<sub>7</sub>Hf<sub>2</sub> 相具有  $A\bar{2}/m$  空间群, 属单斜晶系, 点阵常数是  $a = 12.102 \text{ \AA}$ ,  $b = 8.191 \text{ \AA}$ ,  $c = 4.657 \text{ \AA}$ ,  $\beta = 95.509^\circ$ ; Baldan 运用 X 射线衍射技术确定出这个相具有六角结构, 并测出其晶格常数为  $c = 6.042 \text{ \AA}$ ,  $a = 4.905 \text{ \AA}$ ,  $c/a = 1.23$ <sup>[6]</sup>, 在我们对此相的研究

中, 拍摄了多个不同晶带轴的衍射谱, 运用计算机模拟和计算, 利用二种参数均只能标出一些晶带的衍射斑点, 如图 6(b), 但另一些晶带的衍射与上面二种参数无法吻合, 如图 6(c)。这个问题我们也在进一步研究。

### 3 结论

(1) Ni<sub>6</sub>-Al<sub>32</sub>-Hf 合金由  $\gamma'$ /Ni<sub>7</sub>Hf<sub>2</sub> 共晶和枝晶间的  $\beta$ -NiAl/Ni<sub>7</sub>Hf<sub>2</sub> 二种共晶组织组成。

(2)  $\beta$ -NiAl/Ni<sub>7</sub>Hf<sub>2</sub> 界面热稳定性不好，在高温退火时，易长大粗化； $\gamma'/\text{Ni}_7\text{Hf}_2$  具有较好的界面热稳定性。

(3) 为了能用定向凝固技术制造出强度高，横向塑性好的以 Ni<sub>3</sub>Al 为基、Ni<sub>7</sub>Hf<sub>2</sub> 增强的共晶复合材料，应降低 Ni<sub>6</sub>-Al<sub>32</sub>-Hf 合金的 Al 含量以减少  $\beta$ -NiAl 的存在。

#### 参考文献

1 Drapier J M. In: Coutsouradis D ed, High Temperature Al-

loys for Gas Turbine, Progress in Advanced Directional Solidified and Eutectic High Temperature Alloys. London: Applied Science Publisher LTD, 1978: 701–718.

- 2 Jackson M R, Walter J L. In: Kear B H ed, Superalloys Metallurgy and Manufacture, Third International Symposium. Pennsylvania: Claiter's Publishing Division, 1976: 341.
- 3 Bibring H, Khan T, Rabinovitch M, Stohr J, In: Kear B H ed, Superalloys Metallurgy and Manufacture, Third International Symposium. Pennsylvania: Claiter's Publishing Division, 1976: 331.
- 4 Menzies R G. In: Dubl D N ed, Superalloys 1988, Six International Symposium on Superalloys. Pennsylvania: High Temperature Alloy Committee of the Metallurgical Society, 1988: 355.
- 5 Thompson E R, Lemkey F D. Trans ASM, 1969, 62: 140.
- 6 Baldan A. Phys Stat Sol(a), 1984, 83: 47.
- 7 Nash P, West D R F. Metal Science, 1981, 15(8): 347.

## MICROSTRUCTURAL CHARACTERIZATION OF Ni<sub>7</sub>Hf<sub>2</sub>/Ni<sub>3</sub>Al EUTECTIC ALLOY

Ma Shuwei, Zheng Yunrong, Yu Xihong, Ruan Zhongci

*Institute of Aeronautical Materials, Beijing 100095*

**ABSTRACT** The microstructural characterizations of Ni<sub>7</sub>Hf<sub>2</sub>/Ni<sub>3</sub>Al eutectic in a Ni<sub>6</sub>-Al<sub>32</sub>-Hf ternary alloy have been examined by TEM, SEM, electron microprobe and X-ray diffraction. The formation of harmful phases existing in the eutectic with Ni<sub>7</sub>Hf<sub>2</sub> together was explained in terms of the segregation of Al in the interdendrites. The interface thermal stability of  $\gamma'/\text{Ni}_7\text{Hf}_2$  and  $\beta$ -NiAl/Ni<sub>7</sub>Hf<sub>2</sub> was also discussed.

**Key words** *in-situ* composite material eutectic alloy Ni<sub>7</sub>Hf<sub>2</sub> phase

(编辑 彭超群)